

目录

1 矩形脉冲信号的 DTFT 分析	3
1.1 信号与 DTFT 定义	3
1.2 以 N=4 为例的推导	3
1.2.1 方法一：通用方法（多项式展开）	3
1.2.2 方法二：特殊方法（等比数列求和）	3
1.3 推广至任意 N 与最终形式	4
2 N=4 时的静态可视化与理论解释	5
2.1 对图 2 的理论解释	5
2.1.1 峰值为 N=4 的理解（直流增益）	6
2.1.2 第一次过零点在 $\omega = 2\pi/N = \pi/2$ 的理解	6
3 N 值变化的动态可视化	7
4 其它序列案例分析	8
4.1 有限长度序列回顾	8
4.1.1 案例一：非对称序列 $x_1[n] = \{1, 2, 3, 4\}$	8
4.1.2 案例二：对称序列 $x_2[n] = \{1, 2, 1\}$	8
4.2 无限长度序列基础案例	8
4.2.1 单位冲激函数 $\delta[n]$	8
4.2.2 永恒常量 $x[n] = 1$	9
4.2.3 单位阶跃函数 $u[n]$	9
4.2.4 单边指数序列 $a^n u[n]$ (其中 $ a < 1$)	9
4.2.5 复指数序列 $e^{j\omega_0 n}$	10
4.2.6 余弦序列 $\cos(\omega_0 n)$	10
4.2.7 正弦序列 $\sin(\omega_0 n)$	10
5 DTFT 的重要性质及示例	11
5.1 线性性质 (Linearity)	11
5.2 时移性质 (Time-Shift)	11
5.3 翻转与共轭性质 (Time-Reversal & Conjugation)	12
5.4 时域卷积 (Convolution in Time)	12
5.5 时域相乘/调制 (Multiplication in Time / Modulation)	12
5.6 频域微分 (Frequency Differentiation)	12
5.7 对称性 (Symmetry Properties)	13
5.8 帕斯瓦尔定理 (Parseval's Theorem)	13
5.8.1 总能量与直流分量 (DC) 的关系	13

6 观察与最终结论	14
7 从 DTFT 到 DFS/DFT：周期延拓与频域采样	14
7.1 核心思想与原理	15
7.2 公式变形	15
7.3 以 $R_4[n]$ 计算其 DFS	15
7.4 生活化案例对比	16
7.5 DFS 点数 N 的影响：补零看频谱	16
8 N 值变化的静态对比	16
8.1 N=2 时	18
8.2 N=8 时	18
8.3 N=16 时	18

1 矩形脉冲信号的 DTFT 分析

本章将详细推导离散时间矩形脉冲信号 $R_N[n]$ 的 DTFT。我们将从一个具体的例子 $N = 4$ 出发，展示两种计算方法：一种是适用于任何有限长度序列的通用方法（多项式展开），另一种则是利用该序列幅度恒定的特性而采用的特殊方法（等比数列求和）。

1.1 信号与 DTFT 定义

首先，我们回顾一下矩形脉冲信号 $R_N[n]$ 和 DTFT 的定义：

$$R_N[n] = \begin{cases} 1, & 0 \leq n \leq N-1 \\ 0, & \text{其它} \end{cases} \quad (1)$$

$$X(e^{j\omega}) = \sum_{n=-\infty}^{\infty} x[n]e^{-j\omega n} \quad (2)$$

1.2 以 $N=4$ 为例的推导

对于 $N = 4$ ，信号为 $R_4[n] = \{1, 1, 1, 1\}$ ，仅在 $n = 0, 1, 2, 3$ 处有非零值。

1.2.1 方法一：通用方法（多项式展开）

任何有限长度序列的 DTFT 都可以通过直接展开求和得到。这种方法不要求序列的值有任何特殊规律，具有普遍适用性：

$$\begin{aligned} X(e^{j\omega}) &= \sum_{n=0}^3 R_4[n]e^{-j\omega n} \\ &= 1 \cdot e^{-j\omega \cdot 0} + 1 \cdot e^{-j\omega \cdot 1} + 1 \cdot e^{-j\omega \cdot 2} + 1 \cdot e^{-j\omega \cdot 3} \\ &= 1 + e^{-j\omega} + e^{-j2\omega} + e^{-j3\omega} \end{aligned} \quad (3)$$

这个结果是一个关于 $e^{-j\omega}$ 的四项多项式，它是完全正确的 DTFT 表达式，可以直接用于数值计算。

1.2.2 方法二：特殊方法（等比数列求和）

我们观察到 $R_4[n]$ 的特殊性：它的非零值恒为 1。这使得式 (3) 恰好构成一个公比为 $r = e^{-j\omega}$ 的等比数列。因此，我们可以利用等比数列求和公式 $S_N = a \frac{1-r^N}{1-r}$ 来进行化简：

$$X(e^{j\omega}) = \frac{1 \cdot (1 - (e^{-j\omega})^4)}{1 - e^{-j\omega}} = \frac{1 - e^{-j4\omega}}{1 - e^{-j\omega}} \quad (4)$$

两种方法的结果完全等价，这清晰地表明，特殊方法是通用方法在特定条件下的一种高效简化。

1.3 推广至任意 N 与最终形式

将特殊方法推广到任意长度 N , 我们得到:

$$X(e^{j\omega}) = \sum_{n=0}^{N-1} e^{-j\omega n} = \frac{1 - e^{-j\omega N}}{1 - e^{-j\omega}}$$

为了更直观地分析其幅度和相位, 我们通常对上式进行变形。这里的核心技巧是提取中心点的相位因子, 并巧妙地运用欧拉公式 $e^{j\theta} - e^{-j\theta} = 2j \sin(\theta)$ 。

1. 处理分子:

$$\begin{aligned} 1 - e^{-j\omega N} &= e^{-j\omega N/2}(e^{j\omega N/2} - e^{-j\omega N/2}) \\ &= e^{-j\omega N/2} \cdot \left(2j \sin\left(\frac{\omega N}{2}\right)\right) \end{aligned}$$

2. 处理分母:

$$\begin{aligned} 1 - e^{-j\omega} &= e^{-j\omega/2}(e^{j\omega/2} - e^{-j\omega/2}) \\ &= e^{-j\omega/2} \cdot \left(2j \sin\left(\frac{\omega}{2}\right)\right) \end{aligned}$$

3. 合并化简:

$$\begin{aligned} X(e^{j\omega}) &= \frac{e^{-j\omega N/2} \cdot 2j \cdot \sin\left(\frac{\omega N}{2}\right)}{e^{-j\omega/2} \cdot 2j \cdot \sin\left(\frac{\omega}{2}\right)} \\ &= e^{-j\omega(N/2-1/2)} \frac{\sin\left(\frac{\omega N}{2}\right)}{\sin\left(\frac{\omega}{2}\right)} \end{aligned}$$

最终, 我们得到矩形脉冲 DTFT 的标准形式, 这个形式也被称为狄利克雷核函数 (Dirichlet Kernel):

$$\mathbf{X}(e^{j\omega}) = e^{-j\omega \frac{N-1}{2}} \frac{\sin\left(\frac{\omega N}{2}\right)}{\sin\left(\frac{\omega}{2}\right)} \quad (5)$$

这个封闭形式极大地便利了我们对幅度谱和相位谱的理论分析。

2 N=4 时的静态可视化与理论解释

本章将基于上一章推导出的 DTFT 公式，对 $N = 4$ 的情况进行可视化和深入分析。

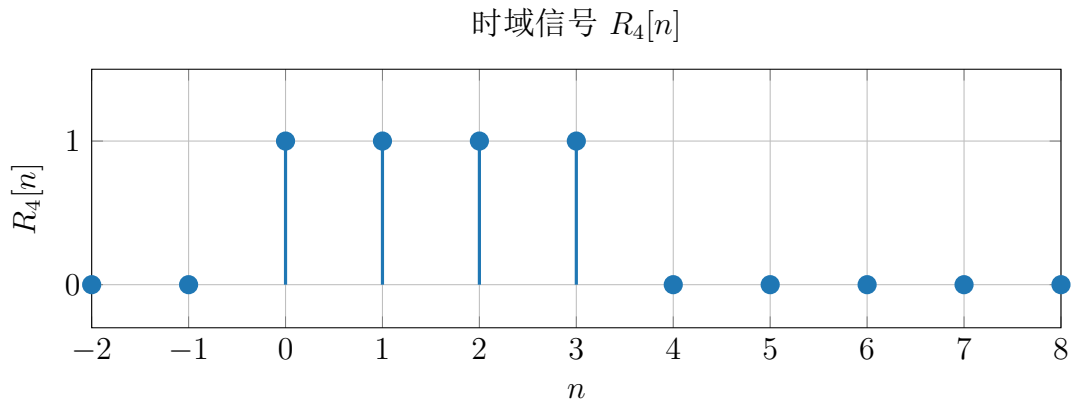


图 1: $N=4$ 的矩形脉冲信号。

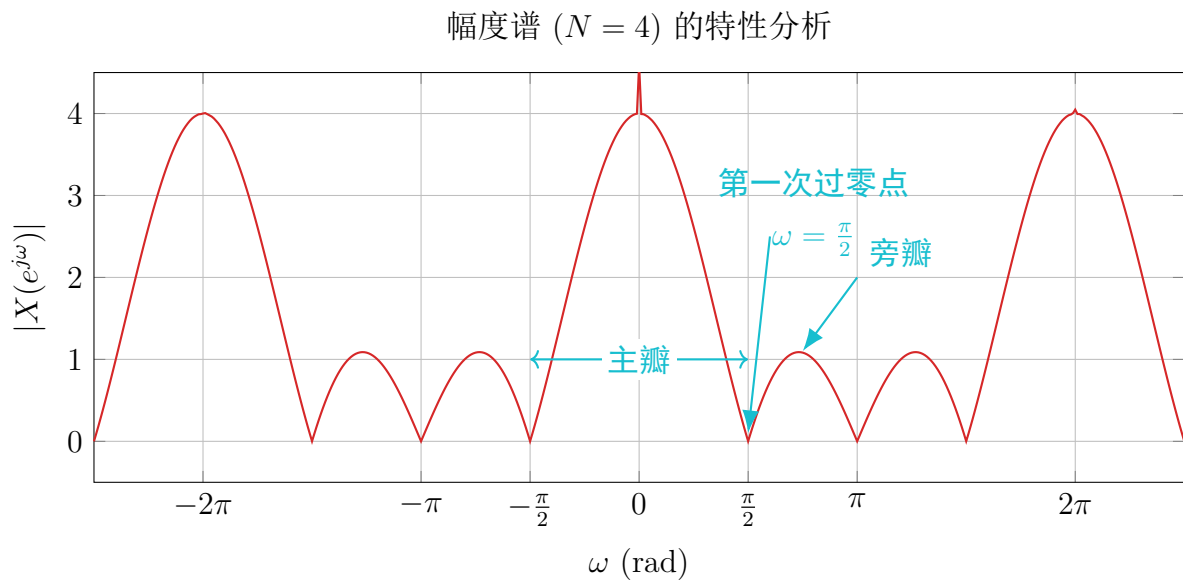


图 2: $N=4$ 的幅度谱，其关键特征在下文详述。

2.1 对图2的理论解释

图 2 中展示的两个核心特征——峰值和第一次过零点，都可以从 DTFT 公式中严格推导出来。

2.1.1 峰值为 N=4 的理解（直流增益）

幅度谱的峰值出现在频率 $\omega = 0$ 处。当 $\omega \rightarrow 0$ 时，DTFT 的幅度部分是一个 $\frac{0}{0}$ 的不定式，我们可以使用洛必达法则来求其极限：

$$\lim_{\omega \rightarrow 0} \left| \frac{\sin(\frac{\omega N}{2})}{\sin(\frac{\omega}{2})} \right| = \lim_{\omega \rightarrow 0} \left| \frac{\frac{N}{2} \cos(\frac{\omega N}{2})}{\frac{1}{2} \cos(\frac{\omega}{2})} \right| = \left| \frac{N/2}{1/2} \right| = N$$

因此，峰值总是等于 N 。对于 $N = 4$ 的情况，峰值就是 4。从物理意义上讲， $\omega = 0$ 处的 DTFT 值等于信号所有样本点之和，即 $1 + 1 + 1 + 1 = 4$ ，这代表了信号的直流分量。

2.1.2 第一次过零点在 $\omega = 2\pi/N = \pi/2$ 的理解

幅度谱的零点发生在分子 $\sin(\frac{\omega N}{2}) = 0$ 且分母 $\sin(\frac{\omega}{2}) \neq 0$ 的位置。

- 分子为零的条件： $\frac{\omega N}{2} = k\pi \implies \omega = \frac{2k\pi}{N}$ ，其中 k 为非零整数。
- 分母不为零的限制：要求 k 不能是 N 的整数倍（因为那样会导致分母也为零）。

对于 $N = 4$ ，零点位置为 $\omega = \frac{k\pi}{2}$ 。我们要寻找的第一次过零点对应最小的正整数 $k = 1$ ，此时：

$$\omega_1 = \frac{1 \cdot \pi}{2} = \frac{\pi}{2}$$

这个位置决定了主瓣的宽度（从 $-\frac{\pi}{2}$ 到 $\frac{\pi}{2}$ ），主瓣总宽度为 $\frac{4\pi}{N} = \pi$ 。这揭示了时频对偶性：时域脉冲越宽（ N 越大），频域主瓣就越窄。

相位谱 ($N = 4$, 带跳变)

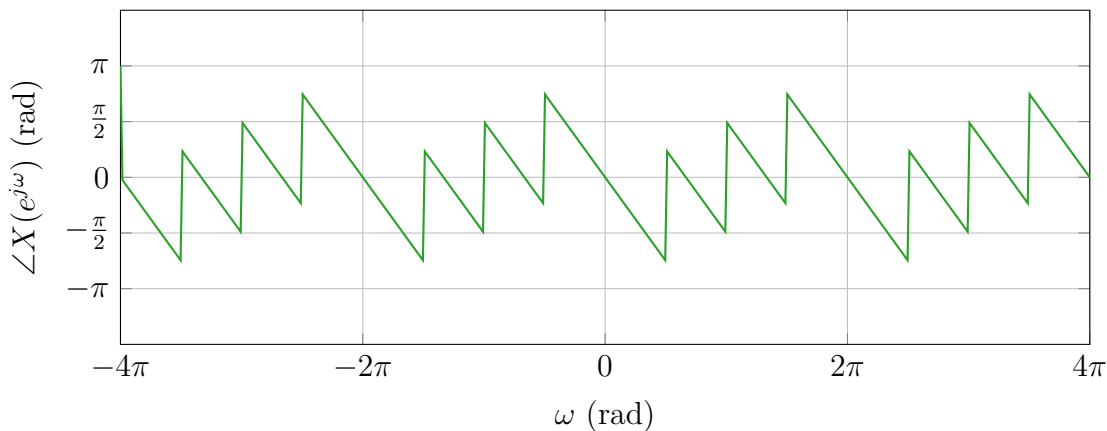


图 3: N=4 的完整相位谱，展示了线性趋势和在幅度谱零点处的 π 跳变。

3 N 值变化的动态可视化

为了更直观地理解脉冲宽度 N 对频谱的影响，我们创建一个动画，展示当 N 从 2 增加到 16 时，幅度谱和相位谱是如何相应地变化的。

图 4: 脉冲宽度 N 从 2 增加到 16 时，幅度谱和相位谱的动态变化。请点击动画进行播放/暂停。

4 其它序列案例分析

现在我们来分析一些其它重要的离散时间序列。对于有限长度序列，我们回归到 DTFT 最根本的定义——直接展开为加权多项式进行计算。对于无限长度序列，则需要利用不同的数学技巧，如几何级数求和或通过更高级的变换关系来推导。

4.1 有限长度序列回顾

4.1.1 案例一：非对称序列 $x_1[n] = \{1, 2, 3, 4\}$

其 DTFT 为 $e^{-j\omega}$ 的多项式：

$$X_1(e^{j\omega}) = 1 + 2e^{-j\omega} + 3e^{-j2\omega} + 4e^{-j3\omega}$$

这是一个典型的非对称序列，其相位谱通常是非线性的。

4.1.2 案例二：对称序列 $x_2[n] = \{1, 2, 1\}$

其 DTFT 可通过提取中心相位因子简化，从而得到纯实数幅度函数与线性相位项的乘积：

$$X_2(e^{j\omega}) = 1 + 2e^{-j\omega} + e^{-j2\omega} = e^{-j\omega}(e^{j\omega} + 2 + e^{-j\omega}) = e^{-j\omega}(2 + 2 \cos(\omega))$$

这是一个典型的对称序列，其 DTFT 具有（广义）线性相位，这在滤波器设计中至关重要。

4.2 无限长度序列基础案例

4.2.1 单位冲激函数 $\delta[n]$

定义: $\delta[n] = \begin{cases} 1, & n = 0 \\ 0, & n \neq 0 \end{cases}$ 。DTFT 推导:

$$\begin{aligned} X(e^{j\omega}) &= \sum_{n=-\infty}^{\infty} \delta[n]e^{-j\omega n} \\ &= \cdots + 0 \cdot e^{-j\omega(-1)} + 1 \cdot e^{-j\omega \cdot 0} + 0 \cdot e^{-j\omega(1)} + \dots \quad (\text{求和中只有 } n=0 \text{ 项非零}) \\ &= 1 \end{aligned}$$

结论: $\delta[n] \Leftrightarrow 1$ 。单位冲激在频域中包含所有频率分量，且幅度均为 1。

4.2.2 永恒常量 $x[n] = 1$

DTFT 推导: 这个序列的 DTFT 求和 $\sum_{n=-\infty}^{\infty} e^{-j\omega n}$ 并不收敛。我们通常从傅里叶逆变换的角度来理解它。我们知道频域的冲激 $\delta(\omega)$ 对应时域的常量。由于 DTFT 是周期的，所以时域的常量对应频域的周期冲激串。**结论:**

$$1 \Leftrightarrow 2\pi \sum_{k=-\infty}^{\infty} \delta(\omega - 2\pi k)$$

这意味着一个直流信号在频域上只在 $\omega = 0, \pm 2\pi, \pm 4\pi, \dots$ 这些直流频率点上有能量。

4.2.3 单位阶跃函数 $u[n]$

定义: $u[n] = \begin{cases} 1, & n \geq 0 \\ 0, & n < 0 \end{cases}$ 。 **DTFT 推导:** 这个序列的求和 $\sum_{n=0}^{\infty} e^{-j\omega n}$ 在 $\omega = 0, \pm 2\pi, \dots$ 处也不收敛。一个标准的处理方法是将其分解为直流部分和交流部分：

$$u[n] = \underbrace{\frac{1}{2}}_{\text{直流部分}} + \underbrace{\left(u[n] - \frac{1}{2} \right)}_{\text{奇信号/交流部分}}$$

- 直流部分 $\frac{1}{2}$ 的 DTFT 是 $\frac{1}{2} \cdot 2\pi \sum_k \delta(\omega - 2\pi k) = \pi \sum_k \delta(\omega - 2\pi k)$ 。
- 交流部分的 DTFT 可以证明等于 $\frac{1}{1-e^{-j\omega}}$ 。

结论: 将两部分相加，得到：

$$u[n] \Leftrightarrow \frac{1}{1-e^{-j\omega}} + \pi \sum_{k=-\infty}^{\infty} \delta(\omega - 2\pi k)$$

这个结果揭示了一个重要的特性：单位阶跃函数既有连续的频谱（第一项），又在直流频率点上有离散的谱线（第二项）。

4.2.4 单边指数序列 $a^n u[n]$ (其中 $|a| < 1$)

DTFT 推导: 这是一个经典的几何级数求和。

$$\begin{aligned} X(e^{j\omega}) &= \sum_{n=-\infty}^{\infty} a^n u[n] e^{-j\omega n} \\ &= \sum_{n=0}^{\infty} a^n e^{-j\omega n} \quad (\text{由于 } u[n] \text{ 的存在，求和从 0 开始}) \\ &= \sum_{n=0}^{\infty} (ae^{-j\omega})^n \quad (\text{这是一个公比为 } r = ae^{-j\omega} \text{ 的无穷等比数列}) \end{aligned}$$

因为 $|a| < 1$ ，所以公比的模 $|ae^{-j\omega}| = |a| < 1$ ，级数收敛。利用无穷等比数列求和公式 $\sum_{n=0}^{\infty} r^n = \frac{1}{1-r}$ ：

$$X(e^{j\omega}) = \frac{1}{1 - ae^{-j\omega}}$$

结论: $a^n u[n] \Leftrightarrow \frac{1}{1 - ae^{-j\omega}}$ 。这是设计数字 IIR 滤波器的基础。

4.2.5 复指数序列 $e^{j\omega_0 n}$

DTFT 推导: 类似于 $x[n] = 1$ 的情况, 这个序列的 DTFT 也是一个频域冲激串, 但被搬移到了 ω_0 处。结论:

$$e^{j\omega_0 n} \Leftrightarrow 2\pi \sum_{k=-\infty}^{\infty} \delta(\omega - \omega_0 - 2\pi k)$$

这意味着一个纯粹的单一频率信号, 在频域上只在该频率 (及其 2π 的整数倍周期延拓位置) 上有谱线。

4.2.6 余弦序列 $\cos(\omega_0 n)$

DTFT 推导: 我们利用欧拉公式将余弦分解为两个复指数, 然后应用线性性质。

$$\cos(\omega_0 n) = \frac{1}{2} e^{j\omega_0 n} + \frac{1}{2} e^{-j\omega_0 n}$$

$$\begin{aligned} \text{DTFT}\{\cos(\omega_0 n)\} &= \text{DTFT}\left\{\frac{1}{2} e^{j\omega_0 n}\right\} + \text{DTFT}\left\{\frac{1}{2} e^{-j\omega_0 n}\right\} \\ &= \frac{1}{2} \cdot 2\pi \sum_k \delta(\omega - \omega_0 - 2\pi k) + \frac{1}{2} \cdot 2\pi \sum_k \delta(\omega + \omega_0 - 2\pi k) \end{aligned}$$

结论:

$$\cos(\omega_0 n) \Leftrightarrow \pi \sum_{k=-\infty}^{\infty} [\delta(\omega - \omega_0 - 2\pi k) + \delta(\omega + \omega_0 - 2\pi k)]$$

一个余弦信号在频域上对应于在 $+\omega_0$ 和 $-\omega_0$ 处的两个冲激 (及其周期延拓)。

4.2.7 正弦序列 $\sin(\omega_0 n)$

DTFT 推导: 过程与余弦类似, 但分解公式不同。

$$\sin(\omega_0 n) = \frac{1}{2j} e^{j\omega_0 n} - \frac{1}{2j} e^{-j\omega_0 n}$$

$$\begin{aligned} \text{DTFT}\{\sin(\omega_0 n)\} &= \frac{1}{2j} \text{DTFT}\{e^{j\omega_0 n}\} - \frac{1}{2j} \text{DTFT}\{e^{-j\omega_0 n}\} \\ &= \frac{2\pi}{2j} \sum_k \delta(\omega - \omega_0 - 2\pi k) - \frac{2\pi}{2j} \sum_k \delta(\omega + \omega_0 - 2\pi k) \end{aligned}$$

结论:

$$\sin(\omega_0 n) \Leftrightarrow \frac{\pi}{j} \sum_{k=-\infty}^{\infty} [\delta(\omega - \omega_0 - 2\pi k) - \delta(\omega + \omega_0 - 2\pi k)]$$

一个正弦信号同样对应于在 $+\omega_0$ 和 $-\omega_0$ 处的两个冲激, 但它们的幅度是纯虚数。

5 DTFT 的重要性质及示例

本节我们将利用已知的 $x[n] = R_4[n]$ 及其 DTFT 来具体说明 DTFT 的一些核心性质。首先，我们回顾一下 $R_4[n]$ 的 DTFT，并将其记为 $X_R(e^{j\omega})$:

$$X_R(e^{j\omega}) = 1 + e^{-j\omega} + e^{-j2\omega} + e^{-j3\omega} = e^{-j\omega\frac{3}{2}} \frac{\sin(2\omega)}{\sin(\omega/2)}$$

后续所有示例都将以此为基础。

5.1 线性性质 (Linearity)

性质: 若 $y[n] = ax_1[n] + bx_2[n]$, 则 $Y(e^{j\omega}) = aX_1(e^{j\omega}) + bX_2(e^{j\omega})$ 。

示例: 让我们用最简单的信号来验证此性质。

- 令 $x_1[n] = \delta[n]$ (单位冲激), 其 DTFT 为 $X_1(e^{j\omega}) = 1$ 。
- 令 $x_2[n] = \delta[n - 1]$ (移位冲激), 其 DTFT 为 $X_2(e^{j\omega}) = e^{-j\omega}$ 。

现在, 我们构造一个新信号 $y[n] = 2x_1[n] + 3x_2[n] = 2\delta[n] + 3\delta[n - 1]$ 。在时域上, 这个信号是 $y[n] = \{2, 3\}$, 在 $n = 0$ 处为 2, 在 $n = 1$ 处为 3。

我们用两种方法计算其 DTFT:

- 直接计算: 根据 DTFT 定义直接计算 $y[n]$ 的 DTFT:

$$Y(e^{j\omega}) = \sum_{n=-\infty}^{\infty} y[n]e^{-j\omega n} = 2 + 3e^{-j\omega}$$

- 利用线性性质:

$$\begin{aligned} Y(e^{j\omega}) &= 2X_1(e^{j\omega}) + 3X_2(e^{j\omega}) \\ &= 2 \cdot (1) + 3 \cdot (e^{-j\omega}) \\ &= 2 + 3e^{-j\omega} \end{aligned}$$

两种方法的结果完全相同, 清晰地验证了线性性质。

5.2 时移性质 (Time-Shift)

性质: 若 $y[n] = x[n - n_0]$, 则 $Y(e^{j\omega}) = e^{-j\omega n_0} X(e^{j\omega})$ 。

示例: 令 $y[n] = R_4[n - 2] = \{0, 0, 1, 1, 1, 1\}$ 。其 DTFT 为:

$$Y(e^{j\omega}) = e^{-j2\omega} X_R(e^{j\omega}) = e^{-j2\omega} \left(e^{-j\omega\frac{3}{2}} \frac{\sin(2\omega)}{\sin(\omega/2)} \right) = e^{-j\omega\frac{7}{2}} \frac{\sin(2\omega)}{\sin(\omega/2)}$$

时移不改变幅度谱, 但会为相位谱增加一个线性项。

5.3 翻转与共轭性质 (Time-Reversal & Conjugation)

性质: 若 $y[n] = x^*[-n]$, 则 $Y(e^{j\omega}) = X^*(e^{j\omega})$ 。

示例: 由于 $R_4[n]$ 是实数序列, 我们考虑 $y[n] = R_4[-n]$ 。该序列在 $n = 0, -1, -2, -3$ 处为 1。其 DTFT 为:

$$\begin{aligned} Y(e^{j\omega}) &= X_R^*(e^{j\omega}) = \left(e^{-j\omega\frac{3}{2}} \frac{\sin(2\omega)}{\sin(\omega/2)} \right)^* \\ &= e^{j\omega\frac{3}{2}} \frac{\sin(2\omega)}{\sin(\omega/2)} \end{aligned}$$

这与 $X_R(e^{-j\omega})$ 的结果一致, 验证了对于实信号, 时域翻转等价于频域的 $X(e^{-j\omega})$ 。

5.4 时域卷积 (Convolution in Time)

性质: $x_1[n] * x_2[n] \Leftrightarrow X_1(e^{j\omega})X_2(e^{j\omega})$ 。

示例: 计算 $y[n] = R_4[n] * R_4[n]$ 。结果是三角形脉冲 $y[n] = \{1, 2, 3, 4, 3, 2, 1\}$ 。根据卷积定理, 其 DTFT 为:

$$\begin{aligned} Y(e^{j\omega}) &= (X_R(e^{j\omega}))^2 \\ &= \left(e^{-j\omega\frac{3}{2}} \frac{\sin(2\omega)}{\sin(\omega/2)} \right)^2 \\ &= e^{-j3\omega} \left(\frac{\sin(2\omega)}{\sin(\omega/2)} \right)^2 \end{aligned}$$

5.5 时域相乘/调制 (Multiplication in Time / Modulation)

性质: $x[n]y[n] \Leftrightarrow \frac{1}{2\pi} \int_{2\pi} X(e^{j\theta})Y(e^{j(\omega-\theta)})d\theta$ (周期卷积)。

示例: 令 $y[n] = R_4[n] \cdot R_4[n]$ 。由于 $R_4[n]$ 的值为 0 或 1, 所以 $y[n] = R_4[n]$ 。其 DTFT 显然是 $Y(e^{j\omega}) = X_R(e^{j\omega})$ 。根据性质, 这也等于:

$$Y(e^{j\omega}) = \frac{1}{2\pi} \int_{2\pi} X_R(e^{j\theta})X_R(e^{j(\omega-\theta)})d\theta = X_R(e^{j\omega})$$

5.6 频域微分 (Frequency Differentiation)

性质: $nx[n] \Leftrightarrow j\frac{d}{d\omega}X(e^{j\omega})$ 。

示例: 令 $y[n] = nR_4[n] = \{0, 1, 2, 3\}$ 。其 DTFT 为 $Y(e^{j\omega}) = e^{-j\omega} + 2e^{-j2\omega} + 3e^{-j3\omega}$ 。根据性质, 这个结果等于:

$$\begin{aligned} Y(e^{j\omega}) &= j\frac{d}{d\omega}X_R(e^{j\omega}) \\ &= j\frac{d}{d\omega} \left(e^{-j\omega\frac{3}{2}} \frac{\sin(2\omega)}{\sin(\omega/2)} \right) \\ &= j \left[\left(\frac{-j3}{2} \right) e^{-j\omega\frac{3}{2}} \frac{\sin(2\omega)}{\sin(\omega/2)} + e^{-j\omega\frac{3}{2}} \frac{d}{d\omega} \left(\frac{\sin(2\omega)}{\sin(\omega/2)} \right) \right] \end{aligned}$$

虽然形式复杂, 但两者在数值上是完全等价的。

5.7 对称性 (Symmetry Properties)

对于实数序列 $x[n]$, 其 DTFT $X(e^{j\omega})$ 具有共轭对称性: $X(e^{j\omega}) = X^*(e^{-j\omega})$ 。由此可引申出:

- $x_e[n] = \frac{x[n]+x[-n]}{2}$ (偶部) $\Leftrightarrow \text{Re}\{X(e^{j\omega})\}$
- $x_o[n] = \frac{x[n]-x[-n]}{2}$ (奇部) $\Leftrightarrow j\text{Im}\{X(e^{j\omega})\}$

示例: $R_4[n]$ 的 DTFT 实部和虚部分别为:

$$\begin{aligned}\text{Re}\{X_R(e^{j\omega})\} &= \cos\left(\frac{3}{2}\omega\right) \frac{\sin(2\omega)}{\sin(\frac{\omega}{2})} \\ j\text{Im}\{X_R(e^{j\omega})\} &= j \left[-\sin\left(\frac{3}{2}\omega\right) \frac{\sin(2\omega)}{\sin(\frac{\omega}{2})} \right]\end{aligned}$$

这两个表达式分别是 $R_4[n]$ 的偶部和奇部的 DTFT。

5.8 帕斯瓦尔定理 (Parseval's Theorem)

性质: $\sum_{n=-\infty}^{\infty} |x[n]|^2 = \frac{1}{2\pi} \int_{-\pi}^{\pi} |X(e^{j\omega})|^2 d\omega$ 。该定理表明, 信号在时域计算的总能量与其在频域计算的总能量相等, 能量是守恒的。

示例: 对于 $x[n] = R_4[n]$:

- 时域能量:

$$E_{total} = \sum_{n=0}^3 |1|^2 = 1^2 + 1^2 + 1^2 + 1^2 = 4$$

- 频域能量:

$$E_{total} = \frac{1}{2\pi} \int_{-\pi}^{\pi} \left| e^{-j\omega \frac{3}{2}} \frac{\sin(2\omega)}{\sin(\omega/2)} \right|^2 d\omega = \frac{1}{2\pi} \int_{-\pi}^{\pi} \left(\frac{\sin(2\omega)}{\sin(\omega/2)} \right)^2 d\omega = 4$$

定理成立, 验证了能量守恒。

5.8.1 总能量与直流分量 (DC) 的关系

一个常见的问题是: 总能量 $E = 4$ 是否与信号的直流分量 (即在 $\omega = 0$ 处的峰值, $X_R(e^{j0}) = 4$) 有直接关系? 答案是: 有关系, 但总能量不等于直流能量。

信号的总能量可以分解为直流分量的能量和所有交流分量的能量之和。

1. 计算直流分量: 信号的平均值 (直流分量) 为 $m_x = \frac{1}{4} \sum_{n=0}^3 x[n] = 1$ 。我们可以将信号分解为直流部分和交流部分:

$$x[n] = \underbrace{m_x}_{\text{直流部分}} + \underbrace{(x[n] - m_x)}_{\text{交流部分}}$$

对于 $R_4[n]$, 由于其值恒为 1, 所以 $x[n] - m_x = 0$ 。这意味着 $R_4[n]$ 是一个纯直流信号, 它没有任何交流分量。

2. 计算能量分量:

- 直流能量 (E_{DC}): $E_{DC} = N \cdot |m_x|^2 = 4 \cdot 1^2 = 4$ 。
- 交流能量 (E_{AC}): $E_{AC} = \sum_{n=0}^3 |x[n] - m_x|^2 = 0$ 。

3. 验证总能量:

$$E_{total} = E_{DC} + E_{AC} = 4 + 0 = 4$$

结论: 对于 $R_4[n]$ 这个特例, 其总能量恰好等于其直流能量, 是因为它的交流能量为零。对于一个普通信号, 例如 $y[n] = \{1, -1, 1, -1\}$, 其平均值为 0 (无直流分量), 但其总能量为 $1^2 + (-1)^2 + 1^2 + (-1)^2 = 4$, 这 4 个单位的能量完全由交流分量贡献。因此, 帕斯瓦尔定理计算的是包含所有频率成分的全部能量, 而不仅仅是直流分量的能量。

6 观察与最终结论

通过上述的详细推导、静态、动态及案例分析, 我们可以得出关于 DTFT 的几个核心结论:

- **时频对偶性 (不确定性原理):** 动画 4 极好地展示了这一点。时域脉冲越宽 (N 增大), 频域主瓣越窄, 能量越集中。
- **对称性与相位:** 案例和性质分析表明, 时域序列的对称性决定了其相位特性。共轭对称序列具有 (广义) 线性相位, 这是滤波器设计中的一个关键特性。
- **能量集中度与分辨率:** 随着 N 的增大, 矩形脉冲的能量越来越集中在 $\omega = 0$ 附近, 这带来了更高的频率分辨率, 即区分邻近频率的能力更强。
- **旁瓣效应 (频谱泄漏):** 所有有限长度窗函数 (如矩形脉冲) 都会在频域产生旁瓣, 这是有限观测时间的必然结果, 它会导致能量“泄漏”到其它频率。

综上所述, 对 DTFT 的深入分析, 不仅让我们掌握了具体信号的变换方法, 更重要的是, 它揭示了数字信号处理中关于时频关系、对称性、窗函数效应和线性相位等一系列基本而深刻的原理。

7 从 DTFT 到 DFS/DFT: 周期延拓与频域采样

到目前为止, 我们讨论的 DTFT 适用于非周期序列, 其结果是一个连续的频谱。然而, 在计算机中我们无法处理连续函数, 只能处理离散的样本点。这就引出了离散傅里叶级数 (DFS) 和离散傅里叶变换 (DFT) 的概念, 它们可以被理解为对 DTFT 频谱的采样。

7.1 核心思想与原理

- DTFT: 分析非周期序列，得到连续频谱。
- DFS: 分析周期序列，得到离散频谱（频谱系数）。

要将两者联系起来，我们需要两步操作：

1. 时域周期延拓: 将一个有限长度的非周期序列 $x[n]$ (如 $R_4[n]$)，通过以周期 N 不断复制，构造成一个周期序列 $\tilde{x}[n]$ 。
2. 频域采样: 对周期序列 $\tilde{x}[n]$ 进行 DFS 分析，得到的离散频谱系数 $\tilde{X}[k]$ ，恰好等于原始信号 $x[n]$ 的 DTFT 在特定频率点上的采样值。

7.2 公式变形

令 $x[n]$ 是一个长度为 M 的有限长序列 (在 $0 \leq n \leq M-1$ 之外为 0)。我们将其周期延拓为周期为 N 的序列 $\tilde{x}[n]$ (要求 $N \geq M$)。

$$\tilde{x}[n] = \sum_{l=-\infty}^{\infty} x[n - lN]$$

$\tilde{x}[n]$ 的 DFS 分析公式为：

$$\tilde{X}[k] = \sum_{n=0}^{N-1} \tilde{x}[n] e^{-j \frac{2\pi}{N} kn}$$

由于在一个周期内 ($0 \leq n \leq N-1$)， $\tilde{x}[n] = x[n]$ ，上式变为：

$$\tilde{X}[k] = \sum_{n=0}^{M-1} x[n] e^{-j \frac{2\pi}{N} kn}$$

我们再回顾 DTFT 的定义： $X(e^{j\omega}) = \sum_{n=0}^{M-1} x[n] e^{-j\omega n}$ 。对比两式可以发现，DFS 系数 $\tilde{X}[k]$ 就是 DTFT $X(e^{j\omega})$ 在频率点 $\omega_k = \frac{2\pi}{N} k$ 上的值：

$$\textbf{X}[\mathbf{k}] = \textbf{X}(e^{j\omega})|_{\omega=\frac{2\pi}{N}\mathbf{k}}$$

这就是连接 DTFT 和 DFS/DFT 的桥梁。

7.3 以 $R_4[n]$ 计算其 DFS

令 $x[n] = R_4[n] = \{1, 1, 1, 1\}$ 。我们选择一个周期 $N = 8$ (大于其自身长度 4) 来构造周期信号 $\tilde{x}[n]$ 。

$$\tilde{x}[n] = \{\dots, \underset{\uparrow}{1}, 1, 1, 1, 0, 0, 0, 0, 1, 1, 1, 1, \dots\}$$

计算其 8 点 DFS 系数 $\tilde{X}[k]$ (这在实践中等同于对序列 $\{1, 1, 1, 1, 0, 0, 0, 0\}$ 进行 8 点 DFT):

$$\tilde{X}[k] = \sum_{n=0}^3 1 \cdot e^{-j \frac{2\pi}{8} kn} = 1 + e^{-j \frac{\pi}{4} k} + e^{-j \frac{\pi}{2} k} + e^{-j \frac{3\pi}{4} k}$$

这个结果正是 $R_4[n]$ 的 DTFT $X_R(e^{j\omega}) = 1 + e^{-j\omega} + e^{-j2\omega} + e^{-j3\omega}$ 在 $\omega = \frac{\pi}{4}k$ 处的采样值。

7.4 生活化案例对比

- **DTFT: 高清模拟相机拍风景**

想象用一台高质量的胶片相机拍摄一幅广阔的风景。得到的照片是连续的，包含了无限的细节。这就像 DTFT，它给出了信号最完整、最详细的频谱信息，是一个连续的函数。

- **DFS/DFT: 将照片变成像素画**

现在，你需要在电脑上显示这张照片。你必须把它数字化，变成由有限个像素点组成的图像。这就像 DFS/DFT，它在连续的 DTFT 频谱上进行采样，得到一组离散的频谱值。像素画的分辨率 (N 值) 越高，采样点越密集，图像就越接近原始的连续照片。

- **时域周期延拓: 为分析节拍而循环播放音乐**

为什么需要周期延拓？想象你听到一段 4 秒的音乐片段（如 $R_4[n]$ ），你想分析它的节拍（频率成分）。单独播放一次很难分析。但如果你把它循环播放（周期延拓），形成一段连续的音乐流，你就很容易听出并打出它的节拍了。时域的周期化是为了让频域的分析（采样）成为可能且有意义。

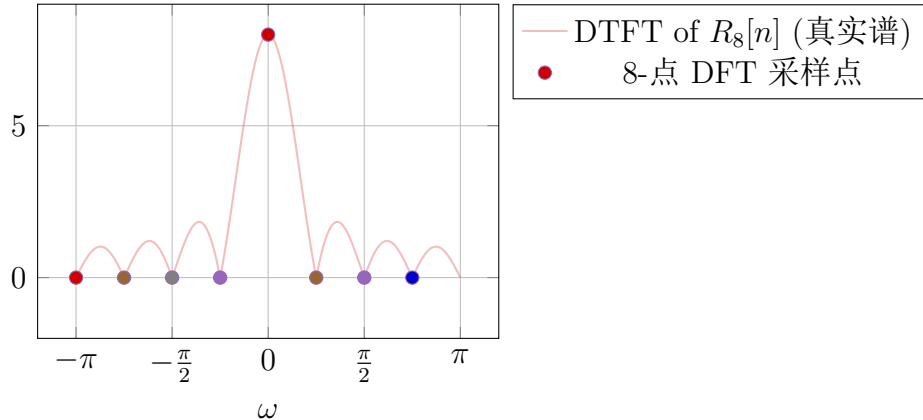
7.5 DFS 点数 N 的影响：补零看频谱

下面的静态对比图展示了一个关键概念：对一个固定长度的信号（我们用 $R_8[n]$ ）进行不同点数的 DFT（等价于 DFS），如何影响我们观察到的频谱。这在实践中通过补零（zero-padding）实现。

8 N 值变化的静态对比

为了深入理解脉冲宽度 N 对频谱的影响，我们在此展示 $N = 2, 8, 16$ 三种情况的静态对比图。

对 $R_8[n]$ 进行 8 点 DFT



对 $R_8[n]$ 进行 32 点 DFT (补零)

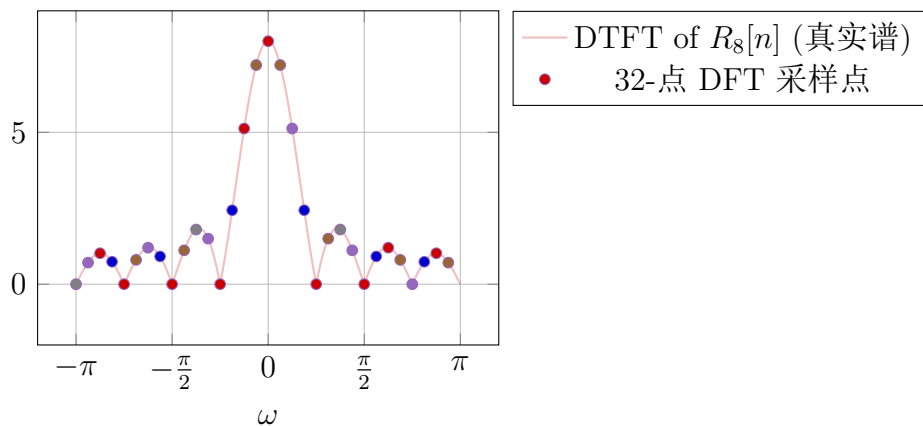


图 5: 固定信号 $R_8[n]$, 对比 8 点 DFT 和 32 点 DFT 的效果。DFT 点数越多 (补零越多), 频域采样点越密集, 越能清晰地勾勒出底层 DTFT 的形状。这说明补零不能提高真实频谱分辨率 (主瓣宽度不变), 但能让我们看得更清楚。

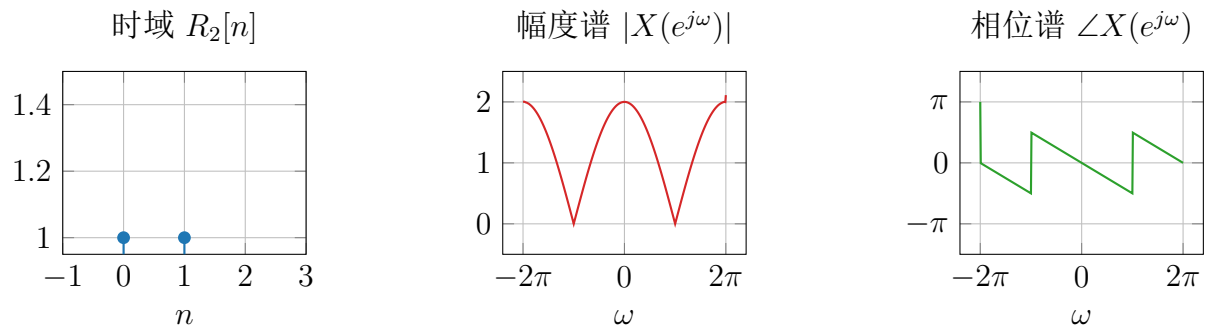


图 6: $N=2$ 时的时域信号、幅度谱与相位谱。

8.1 N=2 时

8.2 N=8 时

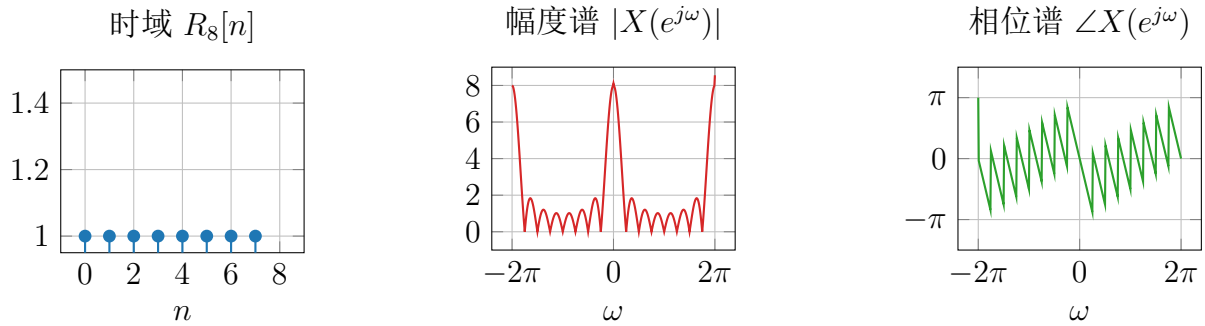


图 7: N=8 时的时域信号、幅度谱与相位谱。主瓣明显变窄。

8.3 N=16 时

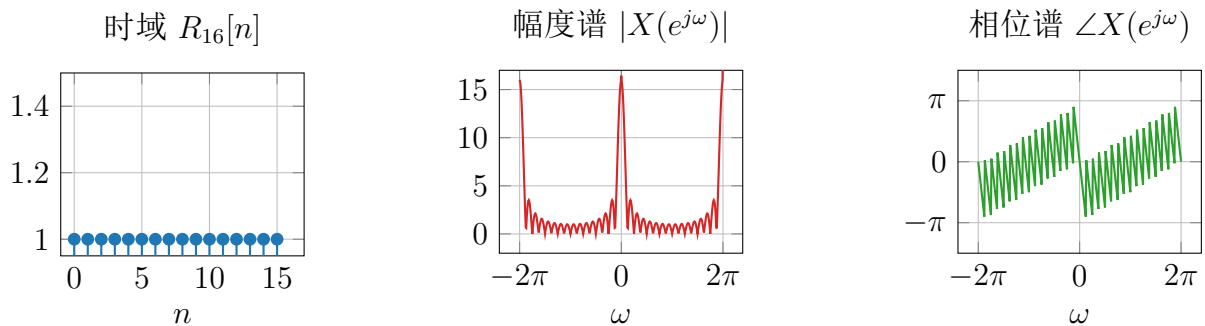


图 8: N=16 时的时域信号、幅度谱与相位谱。主瓣非常窄，相位跳变更密集。